

RESUM T3

Magnetisme:

① DIAMAGNETISME: allunja línia de flux. Repel·leix \vec{B} . $\kappa < 0$. d^{10} o d^k S. BAIX
↳ tots s'aparellats. $S_f = 0 \rightarrow$ singlet = d $\kappa < 0 \quad \kappa \approx 10^{-6}$. $\nabla \vec{X}$ additives
 \downarrow

② PARAMAGNETISME: ↑ línia de flux. $\kappa > 0$.

↳ tots e⁻ desaparellats. $S_f \neq 0 \rightarrow$ no singlet $\kappa \approx 10^{-2}$. $T \checkmark$ Llei de Curie / Curie-Weiss
 $\kappa > 0$

$\boxed{\chi_M}$ susceptibilitat magnètica específica molar

$\chi_{\text{exp}} = \chi_M$ paramagnètica - $\boxed{\chi_M \text{ diamagnètica}}$ Tablaades

$\vec{H} = 0$ DIAMAGNETIC

$\vec{H} \neq 0$ PARAMAGNETIC

Moment magnètic μ : $\vec{J} = \vec{L} + \vec{S}$

- Moment angular d'spin (S)

- Moment angular orbital (L)

"SPIN-ONLY": quan només tenim $\vec{J} = \vec{S}$ ($\vec{L} = 0$) El n° e⁻ desaparellats / 2 = $S_f \rightarrow \boxed{n = 2S_f}$
 $\mu_{\text{eff}} = \mu_{\text{spin-only}} = \sqrt{n(n+2)}$

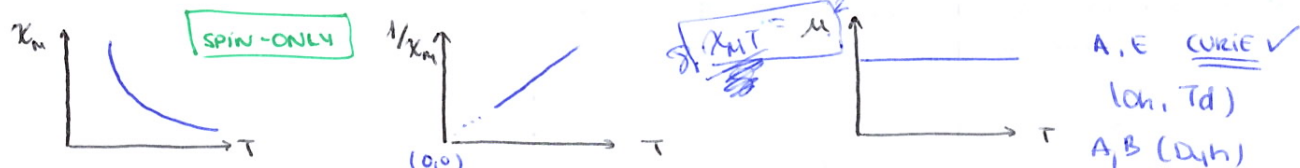
③ Oh $\text{d}x^2-y^2, \text{d}z^2 \equiv \text{eg}$ $\left. \begin{array}{l} \vec{L} = 0 \\ \text{si } \text{d}x^2-y^2, \text{d}z^2 \Rightarrow \text{eg} \quad \vec{L} = 0 \\ \text{si contenen } \text{R}_x, \text{R}_y, \text{R}_z \quad \vec{L} \neq 0. \end{array} \right\} 45^\circ$ \vec{L} : la probabilitat de e⁻ per girar d'un orb. a un altre.

Ch, Td $\rightarrow A, E \rightarrow \vec{L} = 0 \rightarrow \vec{J} = \vec{S}$ "SPIN-ONLY" $S \neq 0$
 $\downarrow T \rightarrow \vec{L} = 1 \rightarrow \vec{J} = \vec{S} + \vec{L}$ Acostadament spin-orbital.

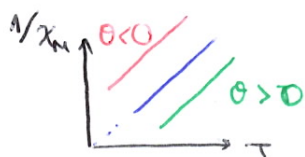
D_{4h} $\rightarrow A, B \rightarrow \vec{L} = 0 \rightarrow \vec{J} = \vec{S}$ "SPIN-ONLY"
 $\downarrow E \rightarrow \vec{L} = 1 \rightarrow \vec{J} = \vec{L} + \vec{S}$

$$\boxed{\mu^2 = 8 \chi_M T}$$

Llei de Curie: efecte de la T, relaciona μ (T). $\mu_{\text{eff}}^2 = 8 \chi_M T$



Llei de Curie-Weiss: comp. magnètic desviat. Tenim línia recta però es desplaça \oplus / \ominus .

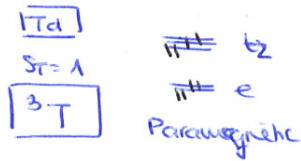


$$\boxed{\chi_M = \frac{c \alpha T}{T - \Theta}}$$

No vol dir que els T compleixen Curie-Weiss.
(E)

Complexos mononuclears S variable:

1. Canvis geomètric: $[ML_6]^{q\pm}$ $Td \Rightarrow D_{4h}$ (d^3)



$1A_{1g}$ Diamagnètic.

Ms=0 ✓ Cine ✓

2. Canvis spin. Transicions d'spin "SPIN CROSSOVER"

$[ML_6]^{q\pm}$ * M^{nr} : d^x $4 \leq x \leq 7$

* Oh

* A_0/B determinat camp fort/feble. \rightarrow Pròxim línia vertical/frontera. Promovem e^- .

Els modifica el terme de EF (S baix, UV-Visible... colors...)

BOM: "eg" caràcter $\star \downarrow B_0 \uparrow$ densitats.

Complexos polinuclears:

2 tipus de connectivitat:

2. A través l'ports: $[M_2L_n]$ dinuc. $10A$ M $\times 2 + 10A$ L ports $\rightarrow 30A \rightarrow 30M$

* També a $T \approx 300K$: tots nius no hi ha efecte cooperatiu. Desordre tèrmic.

$$(k_B T)_{\text{poli}} = \sum (k_B T)_{\text{cada niu}} \quad T \uparrow \uparrow \text{ term independent}$$

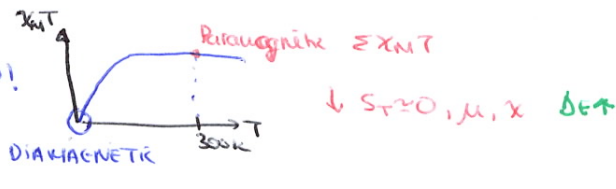
* T molt baixes: posició fixa. Orde magnètic ferroviari de SUPERINTERCANVI!

① COBLAMENT ANTIFERRONAGÈTIC:

$T=0$ DIAMAGNETIC M-L superefectiu!

$\Delta E \uparrow \uparrow$ entre OMagnètis.

Aparellament Separats! $\cancel{\text{AF}}$



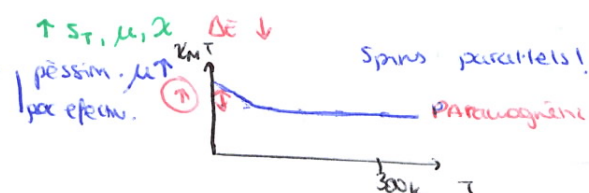
↳ $S_T=0, \mu, x, \Delta E$

② COBLAMENT FERRONAGÈTIC: $S \parallel \uparrow S_T, \mu, x$ $\Delta E \downarrow$

$T=0$ PARANAGÈTIC solapament pèssec. μ

$\Delta E \downarrow \downarrow$

Desaparellament d'spin.

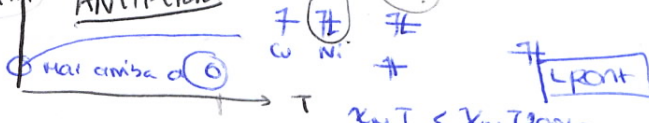


③ COBLAMENT FERRIMAGNETIC: dinuc heteronuclear.

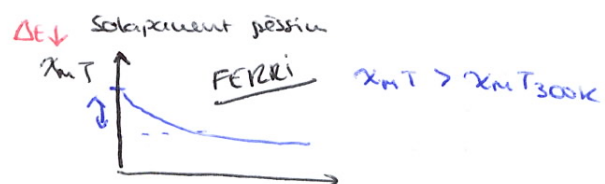
$\Delta E \uparrow$ Bon solapament

ANTIFERRI

χ_{NT}



Separaits $\downarrow S_T \neq 0, \mu, x$



ΔE (OMagnètis, M, μ , entorn i geometria, posició L port...)

↳ Característiques L port., solapament.

$\propto (M-L-M')$

Coplanars o no.